

## Champs aléatoires gaussiens pour la synthèse de textures

Bruno Galerne

**[bruno.galerne@univ-orleans.fr](mailto:bruno.galerne@univ-orleans.fr)**

Université d'Orléans

Modélisation :

Modèles déterministes et stochastiques pour le traitement d'images

Master de Mathématiques Approfondies

# Plan du cours

- 1 Introduction
- 2 Champs aléatoires : Définitions générales
- 3 Champs gaussiens
- 4 Spot noise discret asymptotique (SNDA)
- 5 Bruit à phase aléatoire (BPA)
- 6 Synthèse de textures avec le BPA et le SNDA
- 7 Résultats numériques
- 8 TP Python

# Outline

## 1 Introduction

## 2 Champs aléatoires : Définitions générales

## 3 Champs gaussiens

## 4 Spot noise discret asymptotique (SNDA)

## 5 Bruit à phase aléatoire (BPA)

## 6 Synthèse de textures avec le BPA et le SNDA

## 7 Résultats numériques

## 8 TP Python

## Qu'est-ce qu'une texture ?

- Une définition minimale pour une **texture** est une “image contenant des motifs répétitifs”.
  - Pas de définition mathématique !
  - Selon la nature de la texture la famille de motifs est plus ou moins **aléatoire**.
  - Modélisation probabiliste : Une texture est la réalisation d'un **champ aléatoire**.



## Quelques exemples de textures

Dans les images naturelles :

- Matériaux : bois, pierre, tissu, sable
  - Végétaux : herbe, mousse, feuillage
  - Phénomènes naturels : Surface de l'eau, nuages,

Mais aussi en imagerie (structure des matériaux, météorologie,...).

○○○●○○○

## Micro-textures et macro-textures

Deux sous-familles principales :

- Les *micro-textures* :



- Les ***macro-textures***, constituées d'objets de petites tailles mais discernable individuellement.



# Textures et distance d'observation

Selon la distance d'observation, les même objets peuvent être perçus comme :

- une micro-texture,
- une macro-texture,
- une collection d'objets individuels.



Micro-texture



Macro-texture



Quelques pierres

# Textures en traitement d'images

- Toute scène naturelle comporte des textures.
- Les objets d'une scène se différencient par leur différence de textures.
- Discriminer différentes textures aide à la segmentation d'images.
- Synthèse de texture...

## Synthèse de texture

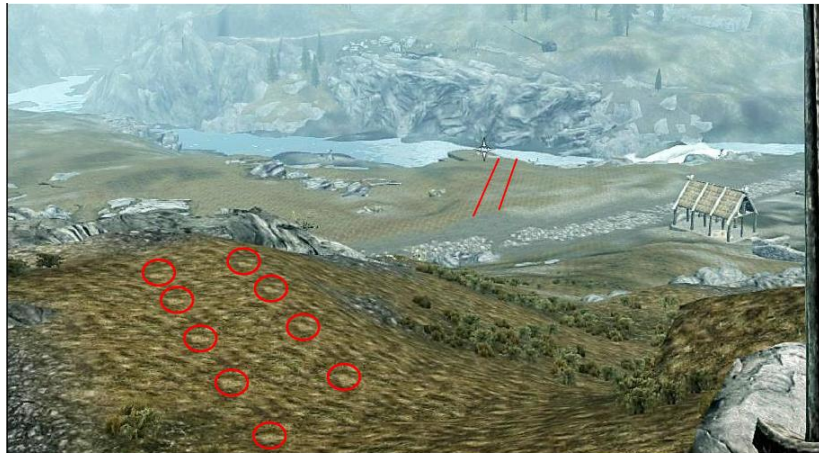
**Synthèse de texture** : Etant donnée en entrée une image de texture, produire une image de sortie qui soit à la fois **visuellement similaire** et **différente pixels à pixels** de l'image d'entrée.



L'image de sortie doit idéalement être perçue comme étant un autre morceau du même matériau que l'image d'entrée.

## Synthèse de texture : Motivation

- Le clonage (ou répétition) n'est pas satisfaisant !



2011: *Skyrim* (Bethesda)

screenshot from *Three Parts Theory*

# Texture synthesis algorithms

## Two main kinds of algorithm:

- 1 Texture synthesis using statistical constraints:

### Algorithm:

- 1 Extract some meaningful “statistics” from the input image (e.g. distribution of colors, of Fourier coefficients, of wavelet coefficients, …).
- 2 Compute a “random” output image having the same statistics: start from a white noise and alternatively impose the “statistics” of the input.

### Properties:

- + Perceptually stable
- Generally not good enough for macro-textures

- 2 Neighborhood-based synthesis algorithms (or “copy-paste” algorithms):

### Algorithm:

- Compute sequentially an output texture such that each patch of the output corresponds to a patch of the input texture.
- Many variations have been proposed: scanning orders, grow pixel by pixel or patch by patch, multiscale synthesis, optimization procedure, …

### Properties:

- + Synthesize well macro-textures
- Can have some speed and stability issue, hard to set parameter...
- See next course (March, 17) for more details.

# Texture synthesis algorithms

## Two main kinds of algorithm:

- 1 Texture synthesis using statistical constraints:

### Algorithm:

- 1 Extract some meaningful “statistics” from the input image (e.g. distribution of colors, of Fourier coefficients, of wavelet coefficients, . . . ).
- 2 Compute a “random” output image having the same statistics: start from a white noise and alternatively impose the “statistics” of the input.

### Properties:

- + Perceptually stable
- Generally not good enough for macro-textures

- 2 Neighborhood-based synthesis algorithms (or “copy-paste” algorithms):

### Algorithm:

- Compute sequentially an output texture such that each patch of the output corresponds to a patch of the input texture.
- Many variations have been proposed: scanning orders, grow pixel by pixel or patch by patch, multiscale synthesis, optimization procedure, . . .

### Properties:

- + Synthesize well macro-textures
- Can have some speed and stability issue, hard to set parameter...
- See next course (March, 17) for more details.

# Texture synthesis algorithms

## Two main kinds of algorithm:

- 1 Texture synthesis using statistical constraints:

### Algorithm:

- 1 Extract some meaningful “statistics” from the input image (e.g. distribution of colors, of Fourier coefficients, of wavelet coefficients, . . . ).
- 2 Compute a “random” output image having the same statistics: start from a white noise and alternatively impose the “statistics” of the input.

### Properties:

- + Perceptually stable
- Generally not good enough for macro-textures

- 2 Neighborhood-based synthesis algorithms (or “copy-paste” algorithms):

### Algorithm:

- Compute sequentially an output texture such that each patch of the output corresponds to a patch of the input texture.
- Many variations have been proposed: scanning orders, grow pixel by pixel or patch by patch, multiscale synthesis, optimization procedure, . . .

### Properties:

- + Synthesize well macro-textures
- Can have some speed and stability issue, hard to set parameter...
- See next course (March, 17) for more details.

# Heeger-Bergen algorithm [Heeger and Bergen, 1995]

Statistical constraints:

- Histogram of colors.
- Histogram of wavelet coefficients at each scale.

Algorithm: Alternating projections into the constraints starting from a white noise image.



Efros-Freeman algorithm [Heeger and Bergen, 1995]

Neighborhood-based synthesis algorithm (or “copy-paste” algorithm):

- Copy of rather large patches in a raster scan manner.
  - New patches are chosen so that the overlap region matches.
  - Dynamic programming is used to compute a seamless boundary in the overlap region.

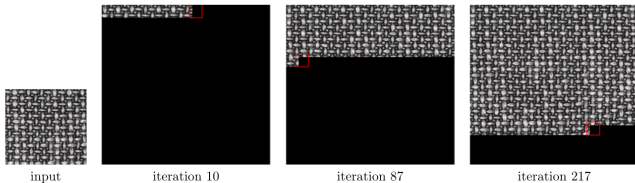


Figure 1: Three different iterations of the synthesis process are shown. At each iteration a patch is being synthesized. This patch is represented by the red square for the three cases.



## Synthèse de textures gaussiennes

Dans ce cours on va voir comment synthétiser des textures en simulant des champs gaussiens...

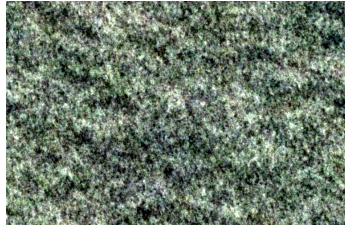
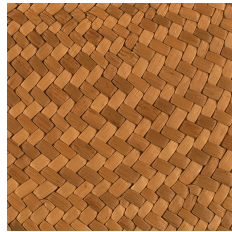
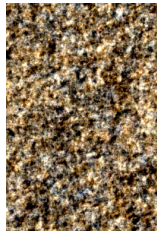
# Synthèse de textures gaussiennes

- Exemples de synthèses convaincantes pour des micro-textures :



# Synthèse de textures gaussiennes

- Exemples d'échecs pour des macro-textures :



# Outline

1 Introduction

2 Champs aléatoires : Définitions générales

3 Champs gaussiens

4 Spot noise discret asymptotique (SNDA)

5 Bruit à phase aléatoire (BPA)

6 Synthèse de textures avec le BPA et le SNDA

7 Résultats numériques

8 TP Python



## Champs aléatoires : Définition

- Un champ aléatoire sur un domaine discret  $D$  est une famille de variables aléatoires  $(Y(x))_{x \in D}$ .
- Pour les images : Une variable aléatoire par pixel.
- Les variables aléatoires (v.a.) seront à valeurs réelles, mais on pourra aussi considérer des v.a. à valeurs dans  $\mathbb{R}^3$  pour les images couleurs, à valeurs dans  $\mathbb{C}$  pour les transformée de Fourier, etc.
- Deux cadres :
  - Domaine fini :  $D = \Omega_{M,N} = \{0, \dots, M-1\} \times \{0, \dots, N-1\}$
  - Domaine infini :  $D = \mathbb{Z}^2$



# Distribution d'un champ aléatoire

**Si le domaine  $D$  est fini :**

- La distribution d'un champ aléatoire  $(Y(x))_{x \in D}$  est simplement la loi de probabilité de  $Y$  vu comme vecteur aléatoire.

**Si le domaine  $D$  est infini :**

- On considère la distribution finie-dimensionnelle de  $Y$ , à savoir la famille des distributions des vecteurs  $(Y(x_1), \dots, Y(x_k))$  obtenu en évaluant  $Y$  en un nombre fini de points.
- Plus précisément, on dit que deux champs  $(Y(x))_{x \in D}$  et  $(Z(x))_{x \in D}$  ont la même loi si pour tout  $k \in \mathbb{N}^*$  et tout  $x_1, x_2, \dots, x_k \in D$ ,

$$(Y(x_1), Y(x_2), \dots, Y(x_n)) \stackrel{\mathcal{L}}{=} (Z(x_1), Z(x_2), \dots, Z(x_n)).$$

On note alors  $Y \stackrel{\mathcal{L}}{=} Z$ .

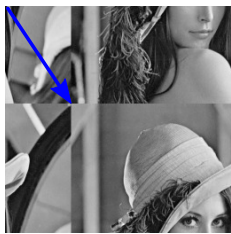
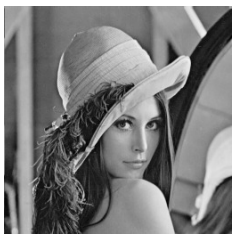
# Stationnarité

- Un champ aléatoire  $(Y(x))_{x \in D}$  est dit **stationnaire** si sa loi est invariante par translation :

$$\forall \tau \in \mathbb{Z}^2, \quad (Y(x))_{x \in D} \stackrel{\mathcal{L}}{=} (Y(x - \tau))_{x \in D}.$$

- Hypothèse naturelle pour modéliser des textures.
- La translation par le vecteur  $\tau$  s'interprète différemment selon le cadre.
- Si  $D = \mathbb{Z}^2$ , translation naturelle sur  $\mathbb{Z}^2$ .
- Si  $D = \Omega_{M,N} = \{0, \dots, M-1\} \times \{0, \dots, N-1\}$  est un rectangle fini, la translation s'effectue par périodicité :

$$u(m - \tau, n - \tau) = u(m - \tau \bmod M, n - \tau \bmod N).$$



## Exemples de champs aléatoires

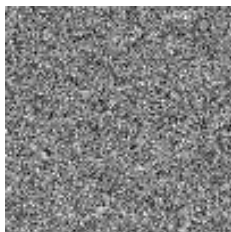
- **Bruit blanc iid** (indépendant identiquement distribué) : Chaque pixel est la réalisation d'une loi fixée sur  $\mathbb{R}$  (e.g. Bernouilli, uniforme, gaussienne,...).



Bernouilli



Uniforme



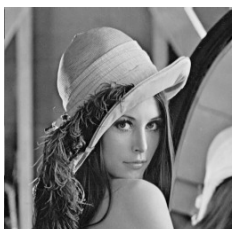
Gaussien ( $\mu = 128$ ,  $\sigma = 40$ )

- Les bruits blancs sont stationnaires.
- Le bruit blanc gaussien est le modèle de bruit standard pour le débruitage d'images.

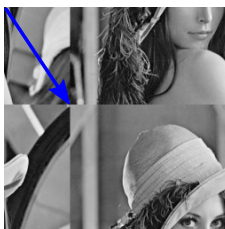
## Exemples de champs aléatoires

- Une image  $h$  déterministe est un champ aléatoire (non aléatoire...).
- Ce n'est pas un champ stationnaire, sauf si l'image est constante.
- Cadre  $D$  fini : On obtient un champ stationnaire en considérant les translations uniforme aléatoire d'une image donnée  $h$  :

$$Y(x) = h(x - \tau), \quad \text{où } \tau \text{ est uniforme dans } D = \Omega_{M,N}.$$



$h$



Une réalisation de  $Y$

- Remarque : Pas d'équivalent sur  $\mathbb{Z}^2$  !

# Espérance

## Espérance :

- L'espérance d'un champ aléatoire  $(Y(x))_{x \in D}$  est l'image déterministe  $(\mathbb{E}(Y(x)))_{x \in D}$ .
- Si  $(Y(x))_{x \in D}$  est stationnaire, alors  $\mathbb{E}(Y)$  est une image constante à  $m \in \mathbb{R}$ .

# Covariance

## Covariance :

- La covariance d'un champ aléatoire  $(Y(x))_{x \in D}$  est la covariance entre les valeurs des pixels :

$$C : D \times D \rightarrow \mathbb{R}$$

$$(x, y) \mapsto \text{Cov}(Y(x), Y(y)) = \mathbb{E}((Y(x) - \mathbb{E}Y(x))(Y(y) - \mathbb{E}Y(y)))$$

- La covariance est symétrique :  $C(x, y) = C(y, x)$ .
- La covariance est une fonction positive : Pour tout  $k \in \mathbb{N}^*$ ,  $x_1, \dots, x_k \in D$ ,  $\alpha_1, \dots, \alpha_k \in \mathbb{R}$ ,

$$\sum_{i,j=1}^k \alpha_i \alpha_j C(x_i, x_j) \geq 0.$$

- Si  $(Y(x))_{x \in D}$  est stationnaire, alors  $C(x, y)$  ne dépend que de la différence  $x - y$  :
  - En dimension 1,  $C$  est une matrice **circulante**.
  - En dimension 2, en parcourant les pixels lignes par lignes, on a une matrice circulante par blocs avec des blocs circulants.

## Exercice : Matrices circulantes

Une matrice est circulante si elle est de la forme

$$C = \begin{pmatrix} c_0 & c_1 & c_2 & \dots & c_{n-1} \\ c_{n-1} & c_0 & c_1 & & c_{n-2} \\ c_{n-2} & c_{n-1} & c_0 & & c_{n-3} \\ \vdots & & & \ddots & \vdots \\ c_1 & c_2 & c_3 & \dots & c_0 \end{pmatrix}$$

avec  $c \in \mathbb{R}^N$ .

**Réduction par approche classique :**

- ➊ On introduit  $J$  la matrice circulante associée au deuxième vecteur de la base canonique  ${}^t(0, 1, 0 \dots, 0)$ .
  - ➊ Déterminer les puissances de  $J$ .
  - ➋ En déduire que  $J$  est diagonalisable et préciser une base de diagonalisation dont la première coordonnée de chaque vecteur vaut 1.
- ➋ En déduire que tout matrice circulante est diagonalisable et préciser ses valeurs propres et vecteurs propres en fonction de  $c$ .

## Exercice : Matrices circulantes

Une matrice est circulante si elle est de la forme

$$C = \begin{pmatrix} c_0 & c_1 & c_2 & \dots & c_{n-1} \\ c_{n-1} & c_0 & c_1 & & c_{n-2} \\ c_{n-2} & c_{n-1} & c_0 & & c_{n-3} \\ \vdots & & & \ddots & \vdots \\ c_1 & c_2 & c_3 & \dots & c_0 \end{pmatrix}$$

avec  $c \in \mathbb{R}^N$ .

**Réduction par lien avec le produit de convolution :**

**Rappel:** Le produit de convolution entre deux vecteurs  $u$  et  $v$  de  $\mathbb{C}^N$  est le vecteur  $u * v \in \mathbb{C}^N$  défini pour tout  $n \in \Omega_N$  par

$$(u * v)_n = \sum_{m=0}^{N-1} u_m v_{n-m}$$

- Montrer que l'application  $v \mapsto Cv$  est une convolution par rapport à vecteur que l'on précisera.
- En déduire que  $C$  est diagonalisable par la matrice de la transformée de Fourier discrète et préciser les valeurs propres et vecteurs propres de  $C$  en fonction de  $c$ .

# Outline

- 1 Introduction
- 2 Champs aléatoires : Définitions générales
- 3 Champs gaussiens
- 4 Spot noise discret asymptotique (SNDA)
- 5 Bruit à phase aléatoire (BPA)
- 6 Synthèse de textures avec le BPA et le SNDA
- 7 Résultats numériques
- 8 TP Python

# Champs gaussiens : Définition

## Définition

- Un champ aléatoire  $(Y(x))_{x \in D}$  est un champ aléatoire gaussien si toute combinaison linéaire finie des ses coordonnées suit une loi normale sur  $\mathbb{R}$ .
- Cette définition généralise celle des vecteurs gaussiens.

## Proposition

- La distribution d'un champ aléatoire gaussien est déterminée par son espérance et sa covariance.

## Exemple

- Un bruit blanc gaussien est un champ aléatoire gaussien (car la somme de deux v.a. gaussiennes indépendantes est encore une v.a. gaussienne). Si la loi des pixels est  $(\mu, \sigma^2)$ , alors l'espérance du bruit blanc est constante à  $\mu$  et sa covariance est

$$C(x, y) = \begin{cases} \sigma^2 & \text{si } x = y, \\ 0 & \text{sinon.} \end{cases}$$

# Vecteurs gaussiens

Faire l'**Exercice 4** de la feuille téléchargeable ici (Merci à Arthur Leclaire) :

[https://www.idpoisson.fr/galerne/m2\\_tours/td\\_vecteurs\\_gaussiens.pdf](https://www.idpoisson.fr/galerne/m2_tours/td_vecteurs_gaussiens.pdf)

## Exercice 4. Densité des vecteurs gaussiens

Soit  $X \sim \mathcal{N}(m, \Gamma)$  avec  $m \in \mathbb{R}^d$  et  $\Gamma \in \mathbb{R}^{d \times d}$ . Soit  $A \in \mathbb{R}^{d \times d}$  telle que  $AA^T = \Gamma$ .

1. Soit  $Z \sim \mathcal{N}(0, I_d)$ . Montrer que  $X$  et  $m + AZ$  ont même loi.
2. Montrer que toute matrice symétrique positive  $\Gamma$  est la covariance d'un vecteur gaussien.
3. Supposons  $\Gamma$  inversible. En utilisant la question 1, montrer que  $X$  admet une densité par rapport à la mesure de Lebesgue, et l'expliciter.
4. Supposons  $\Gamma$  non inversible. Montrer qu'alors il existe un hyperplan  $H$  de  $\mathbb{R}^d$  tel que  $X \in H$  p.s.  
En déduire que  $X$  n'est pas à densité.

# Simulation de vecteurs gaussiens

- **Question:** Comment simuler un vecteur gaussien  $X \in \mathbb{R}^N$  d'espérance  $m \in \mathbb{R}^N$  et de matrice de covariance  $\Gamma$  ?
- Quelles méthodes numériques pour calculer  $A$  telle que  $AA^T = \Gamma$  ?

# Simulation de vecteurs gaussiens

- **Question:** Comment simuler un vecteur gaussien  $X \in \mathbb{R}^N$  d'espérance  $m \in \mathbb{R}^N$  et de matrice de covariance  $\Gamma$  ?
- Quelles méthodes numériques pour calculer  $A$  telle que  $AA^T = \Gamma$  ?

# Théorème central limite vectoriel

- On considère le cas  $D$  fini.
- Soit  $(Y_n)$  une suite iid de champs aléatoires sur  $D$  d'espérance  $\mathbb{E}(Y)$  et de covariance  $C$ .
- On pose  $S_n = \frac{Y_1 + \dots + Y_n}{n}$ .

## Loi des grands nombres :

- $\frac{Y_1 + \dots + Y_n}{n}$  converge presque sûrement vers  $\mathbb{E}(Y)$ .

## Théorème central limite :

- $\frac{Y_1 + \dots + Y_n - n\mathbb{E}(Y)}{\sqrt{n}}$  converge en loi vers le champ gaussien de moyenne nulle et de covariance  $C$ .

# Outline

1 Introduction

2 Champs aléatoires : Définitions générales

3 Champs gaussiens

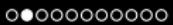
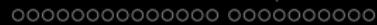
4 Spot noise discret asymptotique (SNDA)

5 Bruit à phase aléatoire (BPA)

6 Synthèse de textures avec le BPA et le SNDA

7 Résultats numériques

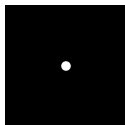
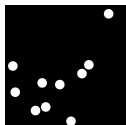
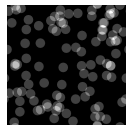
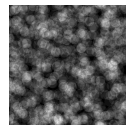
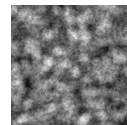
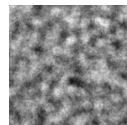
8 TP Python



## Spot noise discret

- Soit  $h \in \mathbb{R}^{M \times N}$  une image discrète appelée *spot*.
- Soit  $(X_k)$  une suite i.i.d. de vecteurs de translations aléatoires uniformément distribués dans  $\Omega_{M,N}$ .
- Le **spot noise discret d'ordre  $n$  associé à  $h$**  est l'image aléatoire

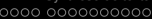
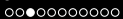
$$f_n(x) = \sum_{k=1}^n \theta_{X_k} h(x) = \sum_{k=1}^n h(x - X_k).$$

Spot  $h$  $n = 10$  $n = 10^2$  $n = 10^3$  $n = 10^4$  $n = 10^5$

## Spot noise discret asymptotique (SNDA)

- Pour la synthèse de texture on est intéressé par la limite de la séquence de spot noise quand  $n$  tend vers  $+\infty$ . C'est le **Spot noise discret asymptotique (SNDA)**.
- Quelle est cette limite ?
- Le *SND* d'ordre  $n$ ,  $f_n(x) = \sum_k h(x - X_k)$ , est la somme des  $n$  images aléatoires i.i.d.  $h(\cdot - X_k)$ .
- D'après le **théorème central limite vectoriel** :  

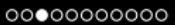
$$\frac{f_n - n\mathbb{E}(h(\cdot - X_1))}{\sqrt{n}}$$
 converge en loi vers le vecteur gaussien  $Y = (Y(x))_{x \in \Omega_{M,N}}$   
d'indice  $\Omega_{M,N}$  de moyenne nulle et de covariance  $\text{Cov}(h(\cdot - X_1))$ .



## Spot noise discret asymptotique (SNDA)

- Pour la synthèse de texture on est intéressé par la limite de la séquence de spot noise quand  $n$  tend vers  $+\infty$ . C'est le **Spot noise discret asymptotique (SNDA)**.
- Quelle est cette limite ?
- Le *SND* d'ordre  $n$ ,  $f_n(x) = \sum_k h(x - X_k)$ , est la somme des  $n$  images aléatoires i.i.d.  $h(\cdot - X_k)$ .
- D'après le **théorème central limite vectoriel** :  

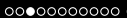
$$\frac{f_n - n\mathbb{E}(h(\cdot - X_1))}{\sqrt{n}}$$
 converge en loi vers le vecteur gaussien  $Y = (Y(x))_{x \in \Omega_{M,N}}$   
d'indice  $\Omega_{M,N}$  de moyenne nulle et de covariance  $\text{Cov}(h(\cdot - X_1))$ .



## Spot noise discret asymptotique (SNDA)

- Pour la synthèse de texture on est intéressé par la limite de la séquence de spot noise quand  $n$  tend vers  $+\infty$ . C'est le **Spot noise discret asymptotique (SNDA)**.
- Quelle est cette limite ?
- Le *SND* d'ordre  $n$ ,  $f_n(x) = \sum_k h(x - X_k)$ , est la somme des  $n$  images aléatoires i.i.d.  $h(\cdot - X_k)$ .
- D'après le théorème central limite vectoriel :  

$$\frac{f_n - n\mathbb{E}(h(\cdot - X_1))}{\sqrt{n}}$$
 converge en loi vers le vecteur gaussien  $Y = (Y(x))_{x \in \Omega_{M,N}}$   
d'indice  $\Omega_{M,N}$  de moyenne nulle et de covariance  $\text{Cov}(h(\cdot - X_1))$ .



## Spot noise discret asymptotique (SNDA)

- Pour la synthèse de texture on est intéressé par la limite de la séquence de spot noise quand  $n$  tend vers  $+\infty$ . C'est le **Spot noise discret asymptotique (SNDA)**.
- Quelle est cette limite ?
- Le *SND* d'ordre  $n$ ,  $f_n(x) = \sum_k h(x - X_k)$ , est la somme des  $n$  images aléatoires i.i.d.  $h(\cdot - X_k)$ .
- D'après le **théorème central limite vectoriel** :  
$$\frac{f_n - n\mathbb{E}(h(\cdot - X_1))}{\sqrt{n}}$$
 converge en loi vers le vecteur gaussien  $Y = (Y(x))_{x \in \Omega_{M,N}}$  d'indice  $\Omega_{M,N}$  de moyenne nulle et de covariance  $\text{Cov}(h(\cdot - X_1))$ .

## Explicitons les espérances et covariances

**Exercice :** Soit  $H = h(\cdot - X)$  la translation aléatoire uniforme de  $h$ , i.e.  $X$  est un vecteur de loi uniforme sur  $\Omega_{M,N}$ .

- 1 Justifier que  $H$  est un champ stationnaire.
- 2 Calculer l'espérance de  $H$ , i.e.  $\mathbb{E}(h(x - X))$  pour tout  $x \in \Omega_{M,N}$ .
- 3 Calculer la covariance de  $H$ , i.e.  $\text{Cov}(h(x - X), h(y - X))$  pour tous  $x, y \in \Omega_{M,N}$ .

# Spot noise discret asymptotique (SNDA)

Espérance des translations aléatoires :

- $X_1$  suit une loi uniforme sur la grille de pixels  $\Omega_{M,N}$ .

$$\begin{aligned}
 \mathbb{E}(h(x - X_1)) &= \sum_{y \in \Omega_{M,N}} h(x - y) \mathbb{P}(X_1 = y) \\
 &= \sum_{y \in \Omega_{M,N}} h(x - y) \frac{1}{MN} \\
 &= \frac{1}{MN} \sum_{z \in \Omega_{M,N}} h(z) \\
 &= \text{moyenne de } h.
 \end{aligned}$$

- $\mathbb{E}(h(x - X_1)) = m$ , où  $m$  est la moyenne arithmétique de  $h$ .

# Spot noise discret asymptotique (SNDA)

Espérance des translations aléatoires :

- $X_1$  suit une loi uniforme sur la grille de pixels  $\Omega_{M,N}$ .

$$\begin{aligned}
 \mathbb{E}(h(x - X_1)) &= \sum_{y \in \Omega_{M,N}} h(x - y) \mathbb{P}(X_1 = y) \\
 &= \sum_{y \in \Omega_{M,N}} h(x - y) \frac{1}{MN} \\
 &= \frac{1}{MN} \sum_{z \in \Omega_{M,N}} h(z) \\
 &= \text{moyenne de } h.
 \end{aligned}$$

- $\mathbb{E}(h(x - X_1)) = m$ , où  $m$  est la moyenne arithmétique de  $h$ .

# Spot noise discret asymptotique (SNDA)

Espérance des translations aléatoires :

- $X_1$  suit une loi uniforme sur la grille de pixels  $\Omega_{M,N}$ .

$$\begin{aligned}
 \mathbb{E}(h(x - X_1)) &= \sum_{y \in \Omega_{M,N}} h(x - y) \mathbb{P}(X_1 = y) \\
 &= \sum_{y \in \Omega_{M,N}} h(x - y) \frac{1}{MN} \\
 &= \frac{1}{MN} \sum_{z \in \Omega_{M,N}} h(z) \\
 &= \text{moyenne de } h.
 \end{aligned}$$

- $\mathbb{E}(h(x - X_1)) = m$ , où  $m$  est la moyenne arithmétique de  $h$ .

# Spot noise discret asymptotique (SNDA)

Espérance des translations aléatoires :

- $X_1$  suit une loi uniforme sur la grille de pixels  $\Omega_{M,N}$ .

$$\begin{aligned}
 \mathbb{E}(h(x - X_1)) &= \sum_{y \in \Omega_{M,N}} h(x - y) \mathbb{P}(X_1 = y) \\
 &= \sum_{y \in \Omega_{M,N}} h(x - y) \frac{1}{MN} \\
 &= \frac{1}{MN} \sum_{z \in \Omega_{M,N}} h(z) \\
 &= \text{moyenne de } h.
 \end{aligned}$$

- $\mathbb{E}(h(x - X_1)) = m$ , où  $m$  est la moyenne arithmétique de  $h$ .

# Spot noise discret asymptotique (SNDA)

Espérance des translations aléatoires :

- $X_1$  suit une loi uniforme sur la grille de pixels  $\Omega_{M,N}$ .

$$\begin{aligned}
 \mathbb{E}(h(x - X_1)) &= \sum_{y \in \Omega_{M,N}} h(x - y) \mathbb{P}(X_1 = y) \\
 &= \sum_{y \in \Omega_{M,N}} h(x - y) \frac{1}{MN} \\
 &= \frac{1}{MN} \sum_{z \in \Omega_{M,N}} h(z) \\
 &= \text{moyenne de } h.
 \end{aligned}$$

- $\mathbb{E}(h(x - X_1)) = m$ , où  $m$  est la moyenne arithmétique de  $h$ .

# Spot noise discret asymptotique (SNDA)

Covariance des translations aléatoires : Soient  $x, y \in \Omega_{M,N}$ ,

$$\begin{aligned}
 \text{Cov}(h(x - X_1), h(y - X_1)) &= \mathbb{E}((h(x - X_1) - m)(h(y - X_1) - m)) \\
 &= \sum_{z \in \Omega_{M,N}} (h(x - z) - m)(h(y - z) - m) \mathbb{P}(X_1 = z) \\
 &= \frac{1}{MN} \sum_{z \in \Omega_{M,N}} (h(x - z) - m)(h(y - z) - m) \\
 &= C_h(x, y).
 \end{aligned}$$

- $\text{Cov}(h(x - X_1), h(y - X_1)) = C_h(x, y)$  où  $C_h$  est l'**autocorrélation** de  $h$  :

$$C_h(x, y) = \frac{1}{MN} \sum_{t \in \Omega_{M,N}} (h(x - t) - m)(h(y - t) - m), \quad (x, y) \in \Omega_{M,N}.$$

## Spot noise discret asymptotique (SNDA)

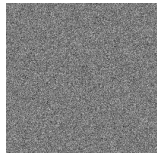
- $\mathbb{E}(h(x - X_1)) = m$ , où  $m$  est la moyenne arithmétique de  $h$ .
- $\text{Cov}(h(x - X_1), h(y - X_1)) = C_h(x, y)$  où  $C_h$  est l'autocorrélation de  $h$ .

Définition du *SNDA*:

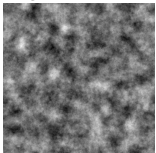
- Le spot noise discret asymptotique (SNDA) associé à  $h$  est le vecteur gaussien  $Y$  de distribution  $\mathcal{N}(0, C_h)$ .

# Simulation du SNDA

Définition du *SNDA* associé à  $h$  : Vecteur gaussien  $Y$  de distribution  $\mathcal{N}(0, C_h)$ .



Bruit blanc gaussien : les pixels sont i.i.d. de distribution gaussienne

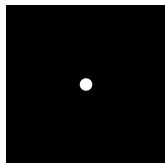


Vecteur gaussien : pixels ont une distribution gaussienne et sont corrélés

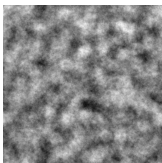
Produit de convolution :  $(f * g)(x) = \sum_{y \in \Omega_{M,N}} f(x - y)g(y), x \in \Omega$ .

Simulation du *SNDA* :

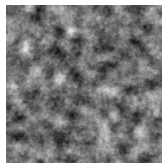
- Soit  $h \in \mathbb{R}^{M \times N}$  un spot,  $m$  la moyenne de  $h$  et  $X$  un bruit blanc gaussien.
- Alors l'image aléatoire  $\frac{1}{\sqrt{MN}} (h - m) * X$  est le SNDA associé à  $h$ .



Spot  $h$



SND avec  $n = 10^5$



SNDA

## Exercice : Simulation du SNDA

**Exercice :** Montrer que  $Y = \frac{1}{\sqrt{MN}} (h - m) * X \simeq \mathcal{N}(0, C_h)$  où

- $h \in \mathbb{R}^{M \times N}$  un spot,
- $X$  un bruit blanc gaussien,
- $m$  la moyenne de  $h$ ,
- $C_h$  est l'autocorrélation de  $h$ :

$$C_h(x, y) = \frac{1}{MN} \sum_{t \in \Omega_{M,N}} (h(x - t) - m)(h(y - t) - m), \quad (x, y) \in \Omega_{M,N}.$$

## Exercice : Simulation du SNDA

**Exercice :** Montrer que  $Y = \frac{1}{\sqrt{MN}} (h - m) * X \simeq \mathcal{N}(0, C_h)$ .

- $Y$  est l'image de  $X$  par une application linéaire. Comme  $X$  est un vecteur gaussien,  $Y$  est également un vecteur gaussien.
- Il suffit donc de vérifier que  $\mathbb{E}(Y(x)) = 0$  et  $\text{Cov}(Y(x), Y(y)) = C_h(x, y)$ .
- Par linéarité,  $\mathbb{E}(Y(x)) = \frac{1}{\sqrt{MN}} (h - m) * \mathbb{E}(X)(x) = 0$ .
- Soient  $x, y \in \Omega_{M;N}$ ,

$$\text{Cov}(Y(x), Y(y)) = \mathbb{E}(Y(x)Y(y))$$

$$= \frac{1}{MN} \mathbb{E} \left( \sum_{s \in \Omega_{M,N}} (h(s - x) - m)X(s) \sum_{t \in \Omega_{M,N}} (h(t - y) - m)X(t) \right)$$

$$= \frac{1}{MN} \sum_{s, t \in \Omega_{M,N}} (h(s - x) - m)(h(t - y) - m) \underbrace{\mathbb{E}(X(s)X(t))}_{\begin{array}{l} = 1 \text{ si } s = t \text{ et } 0 \text{ sinon} \end{array}}$$

$$= \frac{1}{MN} \sum_{s \in \Omega_{M,N}} (h(s - x) - m)(h(s - y) - m)$$

$$= C_h(x, y)$$

## Exercice : Simulation du SNDA

**Exercice :** Montrer que  $Y = \frac{1}{\sqrt{MN}} (h - m) * X \simeq \mathcal{N}(0, C_h)$ .

- $Y$  est l'image de  $X$  par une application linéaire. Comme  $X$  est un vecteur gaussien,  $Y$  est également un vecteur gaussien.
- Il suffit donc de vérifier que  $\mathbb{E}(Y(x)) = 0$  et  $\text{Cov}(Y(x), Y(y)) = C_h(x, y)$ .
- Par linéarité,  $\mathbb{E}(Y(x)) = \frac{1}{\sqrt{MN}} (h - m) * \mathbb{E}(X)(x) = 0$ .
- Soient  $x, y \in \Omega_{M;N}$ ,

$$\text{Cov}(Y(x), Y(y)) = \mathbb{E}(Y(x)Y(y))$$

$$= \frac{1}{MN} \mathbb{E} \left( \sum_{s \in \Omega_{M,N}} (h(s - x) - m)X(s) \sum_{t \in \Omega_{M,N}} (h(t - y) - m)X(t) \right)$$

$$= \frac{1}{MN} \sum_{s, t \in \Omega_{M,N}} (h(s - x) - m)(h(t - y) - m) \underbrace{\mathbb{E}(X(s)X(t))}_{\begin{array}{l} = 1 \text{ si } s = t \text{ et } 0 \text{ sinon} \end{array}}$$

$$= \frac{1}{MN} \sum_{s \in \Omega_{M,N}} (h(s - x) - m)(h(s - y) - m)$$

$$= C_h(x, y)$$

## Exercice : Simulation du SNDA

**Exercice :** Montrer que  $Y = \frac{1}{\sqrt{MN}} (h - m) * X \simeq \mathcal{N}(0, C_h)$ .

- $Y$  est l'image de  $X$  par une application linéaire. Comme  $X$  est un vecteur gaussien,  $Y$  est également un vecteur gaussien.
- Il suffit donc de vérifier que  $\mathbb{E}(Y(x)) = 0$  et  $\text{Cov}(Y(x), Y(y)) = C_h(x, y)$ .
- Par linéarité,  $\mathbb{E}(Y(x)) = \frac{1}{\sqrt{MN}} (h - m) * \mathbb{E}(X)(x) = 0$ .
- Soient  $x, y \in \Omega_{M;N}$ ,

$$\text{Cov}(Y(x), Y(y)) = \mathbb{E}(Y(x)Y(y))$$

$$= \frac{1}{MN} \mathbb{E} \left( \sum_{s \in \Omega_{M,N}} (h(s - x) - m)X(s) \sum_{t \in \Omega_{M,N}} (h(t - y) - m)X(t) \right)$$

$$= \frac{1}{MN} \sum_{s, t \in \Omega_{M,N}} (h(s - x) - m)(h(t - y) - m) \underbrace{\mathbb{E}(X(s)X(t))}_{\begin{array}{l} = 1 \text{ si } s = t \text{ et } 0 \text{ sinon} \end{array}}$$

$$= \frac{1}{MN} \sum_{s \in \Omega_{M,N}} (h(s - x) - m)(h(s - y) - m)$$

$$= C_h(x, y)$$

## Exercice : Simulation du SNDA

**Exercice :** Montrer que  $Y = \frac{1}{\sqrt{MN}} (h - m) * X \simeq \mathcal{N}(0, C_h)$ .

- $Y$  est l'image de  $X$  par une application linéaire. Comme  $X$  est un vecteur gaussien,  $Y$  est également un vecteur gaussien.
- Il suffit donc de vérifier que  $\mathbb{E}(Y(x)) = 0$  et  $\text{Cov}(Y(x), Y(y)) = C_h(x, y)$ .
- Par linéarité,  $\mathbb{E}(Y(x)) = \frac{1}{\sqrt{MN}} (h - m) * \mathbb{E}(X)(x) = 0$ .
- Soient  $x, y \in \Omega_{M;N}$ ,

$$\text{Cov}(Y(x), Y(y)) = \mathbb{E}(Y(x)Y(y))$$

$$= \frac{1}{MN} \mathbb{E} \left( \sum_{s \in \Omega_{M,N}} (h(s - x) - m)X(s) \sum_{t \in \Omega_{M,N}} (h(t - y) - m)X(t) \right)$$

$$= \frac{1}{MN} \sum_{s,t \in \Omega_{M,N}} (h(s - x) - m)(h(t - y) - m) \underbrace{\mathbb{E}(X(s)X(t))}_{= 1 \text{ si } s = t \text{ et } 0 \text{ sinon}}$$

$$= \frac{1}{MN} \sum_{s \in \Omega_{M,N}} (h(s - x) - m)(h(s - y) - m)$$

$$= C_h(x, y)$$

## Simulation du SNDA

Bien sûr le produit de convolution  $Y = \frac{1}{\sqrt{MN}} (h - m) * X$  **est calculé par TFD !**

# Outline

- 1 Introduction
- 2 Champs aléatoires : Définitions générales
- 3 Champs gaussiens
- 4 Spot noise discret asymptotique (SNDA)
- 5 Bruit à phase aléatoire (BPA)
- 6 Synthèse de textures avec le BPA et le SNDA
- 7 Résultats numériques
- 8 TP Python

# Phase aléatoire

- **Définition:** Une image aléatoire  $\theta : \hat{\Omega} \rightarrow \mathbb{R}$  est une **phase aléatoire** si

- ➊ **Symétrie:**  $\theta$  est impaire:

$$\forall (k, l) \in \hat{\Omega}_{M,N}, \theta(-k, -l) = -\theta(k, l).$$

- ➋ **Distribution:** Chaque coordonnée  $\theta(k, l)$  est

- uniforme sur l'intervalle  $]-\pi, \pi]$  si  $(k, l) \notin \{(0, 0), (\frac{M}{2}, 0), (0, \frac{N}{2}), (\frac{M}{2}, \frac{N}{2})\}$ ,
- uniforme sur  $\{0, \pi\}$  sinon.

- ➌ **Indépendance:** Pour chaque sous-ensemble  $\mathcal{S} \subset \hat{\Omega}_{M,N}$  qui ne contient pas des points distincts symétriques, les variables aléatoires  $\{\theta(k, l) | (k, l) \in \mathcal{S}\}$  sont indépendantes.

# Bruit à phase aléatoire (BPA)

- Algorithme de synthèse de textures: **Bruit à phase aléatoire (BPA)** = randomization de phase :

- 1 Calculer la TFD  $\hat{h}$  de l'input  $h$ .
- 2 Calculer une phase aléatoire  $\theta$  à l'aide d'un générateur de nombre pseudo-aléatoire.
- 3 Calculer  $\hat{Z} = |\hat{h}| e^{i\theta}$  (or  $\hat{Z} = \hat{h} e^{i\theta}$ ).
- 4 Retourner  $Z$  la TFD inverse de  $\hat{Z}$ .

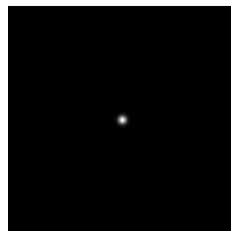
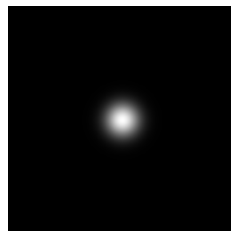
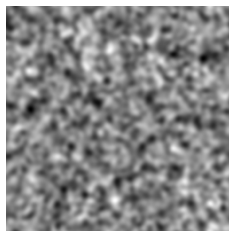


Image originale  $h$



Module  $|\hat{h}|$

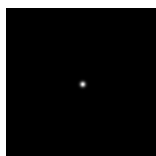
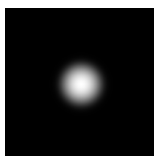


BPA associé à  $h$

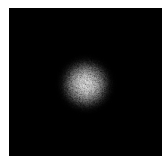
# Différences entre le BPA et l'SNDA

## Proposition:

- BPA et SNDA ont tous les deux une phase aléatoire.
- Le module de Fourier du BPA est celui de  $h$ .
- Le module de Fourier du SNDA est la multiplication entre  $|\hat{h}|$  et un bruit de Rayleigh.

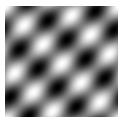
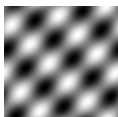
Spot  $h$ 

Module du BPA

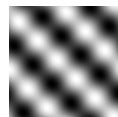
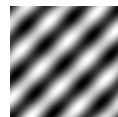


Module du SNDA

- **Le BPA et le SNDA sont deux vecteurs aléatoires différents.**

Spot  $h$ 

BPA

Une réalisation  
du SNDAUne autre réalisation  
du SNDA

# Outline

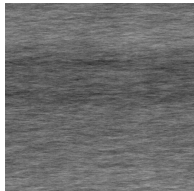
- 1 Introduction
- 2 Champs aléatoires : Définitions générales
- 3 Champs gaussiens
- 4 Spot noise discret asymptotique (SNDA)
- 5 Bruit à phase aléatoire (BPA)
- 6 **Synthèse de textures avec le BPA et le SNDA**
- 7 Résultats numériques
- 8 TP Python

## BPA and SNDA associés à des images de textures

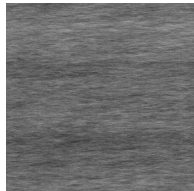
- Certaines textures sont relativement bien reproduites par BPA et SNDA.



Image originale



BPA



SNDA

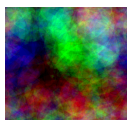
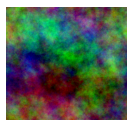
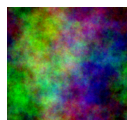
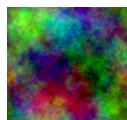
- ... Mais plusieurs améliorations sont nécessaires : Images couleurs, artefacts basses fréquences,...

## Extension aux images couleurs

- On utilise la représentation RGB des images couleurs.
- SND couleur:** La définition du SND s'étend aux images couleurs  $h = (h_r, h_g, h_b)$ .
- Le SNDA couleur  $Y$  est la limite gaussienne obtenue en faisant tendre le nombre de spots vers  $+\infty$ . On le simule par :

$$Y = \frac{1}{\sqrt{MN}} \begin{pmatrix} (h_r - m_r) * X \\ (h_g - m_g) * X \\ (h_b - m_b) * X \end{pmatrix}, \quad X \text{ un bruit blanc gaussien}$$

- On convole chaque canal couleur par le **même** bruit blanc gaussien  $X$ .

Spot  $h$  $n = 10$  $n = 10^2$  $n = 10^3$  $n = 10^4$ 

SNDA couleur

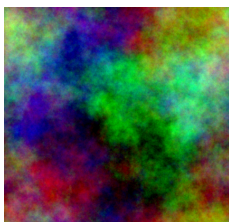
- Phase du SNDA couleur SNDA:** La même phase aléatoire est ajoutée à la TFD de chaque canal couleur.

# Extension aux images couleurs

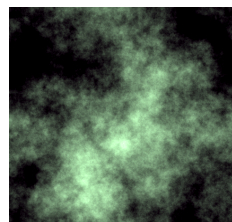
- **BPA couleur** : Par analogie, le *BPA* associé à l'image couleur  $h = (h_r, h_g, h_b)$  est l'image couleur obtenue en **ajoutant la même phase aléatoire** à la TFD de chaque canal couleur.

Image originale  $h$ 

BPA couleur



“Mauvais BPA couleur” :  
chaque canal à la même  
phase aléatoire



$$\hat{h} = \begin{pmatrix} |\hat{h}_R| e^{i\varphi_R} \\ |\hat{h}_G| e^{i\varphi_G} \\ |\hat{h}_B| e^{i\varphi_B} \end{pmatrix}$$

$$\hat{Z} = \begin{pmatrix} |\hat{h}_R| e^{i(\varphi_R + \theta)} \\ |\hat{h}_G| e^{i(\varphi_G + \theta)} \\ |\hat{h}_B| e^{i(\varphi_B + \theta)} \end{pmatrix}$$

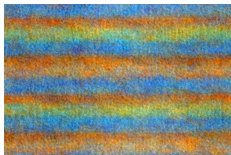
$$\hat{Z}_W = \begin{pmatrix} |\hat{h}_R| e^{i\theta} \\ |\hat{h}_G| e^{i\theta} \\ |\hat{h}_B| e^{i\theta} \end{pmatrix}$$

## Extension aux images couleurs

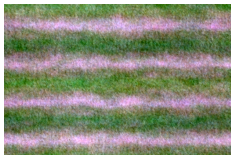
- Un autre exemple avec une photo.



Image originale  $h$



BPA couleur



“Mauvais BPA couleur”

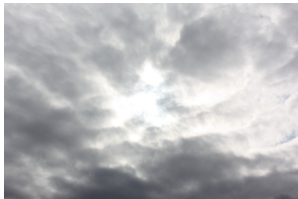
- Préserver les décalages de phase entre les canaux couleurs est important pour conserver le contenu de couleur.
- ...toutefois pour de nombreuses textures monochromatique, il n'y a pas de différence !



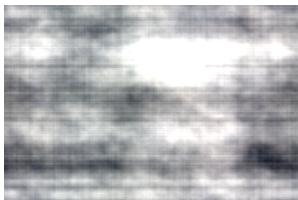
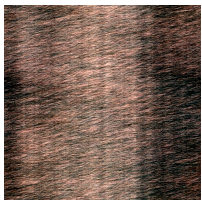
# Eviter les artefacts dus à la non périodicité

- SNDA et BPA utilisent la TFD.  
⇒ Hypothèse implicite de périodicité
- Utiliser des images non périodiques entraîne des artefacts importants.

Spot  $h$



SNDA



## Eviter les artefacts dus à la non périodicité

- **Solution:** Forcer la périodicité de l'image d'entrée.
- L'image  $h$  est remplacée par sa **composante périodique**  $p = \text{per}(h)$ .

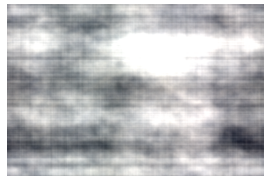
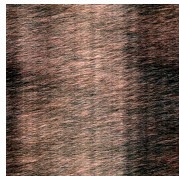
[Moisan, 2011]

## Eviter les artefacts dus à la non périodicité

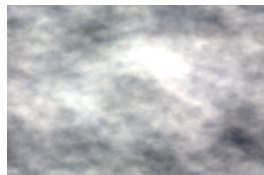
Spot  $h$



SNDA( $h$ )



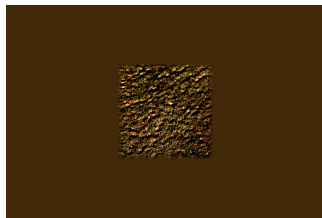
SNDA( $p$ )



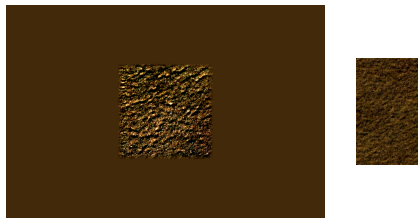
## Synthétiser des textures de plus grande taille

Pour synthétiser des textures de plus grande taille que celle de  $h$ , on calcule un “spot équivalent”  $\tilde{h}$ :

- Copier  $p = \text{per}(h)$  au centre d'une image constante à la moyenne  $h$ .
- Normaliser la variance.
- Atténuer la transition sur la frontière intérieure.



Spot  $h$



Spot équivalent  $\tilde{h}$



$\text{BPA}(h)$



$\text{BPA}(\tilde{h})$

## Propriétés des algorithmes

- Les deux algorithmes sont rapides, avec la complexité de la FFT [ $\mathcal{O}(MN \log(MN))$ ]
- **Stabilité visuelle** : Toutes les réalisations sont visuellement similaires.



Spot *h*



BPA 1



BPA 2



BPA 3

# Outline

- 1 Introduction
- 2 Champs aléatoires : Définitions générales
- 3 Champs gaussiens
- 4 Spot noise discret asymptotique (SNDA)
- 5 Bruit à phase aléatoire (BPA)
- 6 Synthèse de textures avec le BPA et le SNDA
- 7 Résultats numériques
- 8 TP Python

## Résultats numériques : Similarité des textures

- Pour comparer les deux algorithmes, on utilise la même phase aléatoire pour SNDA et BPA.

Image  $h$



SNDA



BPA



- Les deux algorithmes produisent des textures visuellement similaires.

## Résultats numériques : Textures à phase non aléatoire

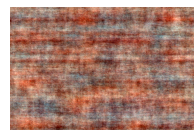
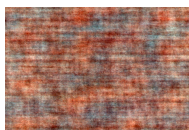
Image  $h$



SNDA



BPA



## D'autres exemples...

Image  $h$



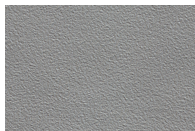
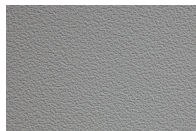
BPA



Image  $h$



BPA



## Bibliographic references I

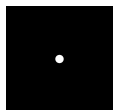
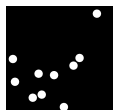
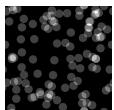
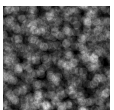
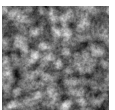
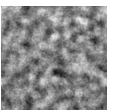
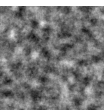
-  A. A. Efros and W. T. Freeman, *Image quilting for texture synthesis and transfer*, SIGGRAPH '01, 2001
-  A. A. Efros and T. K. Leung, *Texture synthesis by non-parametric sampling*, ICIP 1999, 1999
-  B. Galerne, Y. Gousseau, and J.-M. Morel, *Random phase textures: Theory and synthesis*, IEEE Trans. Image Process., 2011
-  B. Galerne, Y. Gousseau, J.-M. Morel, *Micro-Texture Synthesis by Phase Randomization*, Image Processing On Line, 2011
-  D. J. Heeger and J. R. Bergen, *Pyramid-based texture analysis/synthesis*, SIGGRAPH '95, 1995
-  L. Moisan, *Periodic plus smooth image decomposition*, J. Math. Imag. Vis., 2011

# Outline

- 1 Introduction
- 2 Champs aléatoires : Définitions générales
- 3 Champs gaussiens
- 4 Spot noise discret asymptotique (SNDA)
- 5 Bruit à phase aléatoire (BPA)
- 6 Synthèse de textures avec le BPA et le SNDA
- 7 Résultats numériques
- 8 TP Python

# TP Python

- Définir une fonction `circshift(u, t1, t2)` qui applique une translation circulaire de vecteur  $t = (t_1, t_2)$  à l'image  $u$ .
- Ecrire une fonction `rnd(u, n)` qui simule un SND  $v$  d'ordre  $n$  associé à  $u$ .
- Ecrire une fonction `snda(u)` qui simule un SNDA  $v$  associé à  $u$ .
- Reproduire une expérience de ce type (avec la forme géométrique de votre choix) :

Spot  $h$  $n = 10$  $n = 10^2$  $n = 10^3$  $n = 10^4$  $n = 10^5$ 

SNDA

# TP Python

- Ecrire une fonction `snndargb(u)` qui simule un SNDA associé à une image RGB  $u$ . On prendra soin d'ajouter la couleur moyenne de  $u$  à l'image  $v$  (pour ne pas avoir une image couleur de moyenne nulle).
- Faire plusieurs expériences pour montrer que :
  - La synthèse de micro-textures est satisfaisante.
  - La synthèse de macro-textures n'est pas satisfaisante.
  - Des problèmes de bords sont visibles dans les textures synthétisées.
- Remplacer les images d'entrée par leur composante périodique (appliquée à chaque canal couleur).

# Periodic component

- **Periodic component**  $p = \text{per}(h)$ , as proposed by [Moisan, 2011].
- Definition of the periodic component  $p$  of  $h$ :  $p$  unique solution of

$$\begin{cases} \Delta p = \Delta_i h \\ \text{mean}(p) = \text{mean}(h) \end{cases}$$

where, noting  $N_x$  the neighborhood of  $x \in \Omega$  for 4-connexity:

$$\Delta f(x) = -4f(x) + \sum_{y \in N_x} f(y) \quad \text{and} \quad \Delta_i f(x) = -|N_x \cap \Omega| f(x) + \sum_{y \in N_x \cap \Omega} f(y).$$

These two Laplacians only differ at the border:

- $\Delta$ : discrete Laplacian with periodic boundary conditions
- $\Delta_i$ : discrete Laplacian without periodic boundary conditions (index  $i$  for interior)

- $p$  is “visually close” to  $h$  (same Laplacian).
- $p$  is fastly computed using the FFT...

# FFT-based Poisson Solver

**Periodic Poisson problem:** Find the image  $p$  such that

$$\begin{cases} \Delta p = \Delta_i h \\ \text{mean}(p) = \text{mean}(h) \end{cases}$$

In the **Fourier domain**, this system becomes:

$$\begin{cases} \left( -4 + 2 \cos\left(\frac{2s\pi}{M}\right) + 2 \cos\left(\frac{2t\pi}{N}\right) \right) \hat{p}(s, t) = \widehat{\Delta_i h}(s, t), \quad (s, t) \in \hat{\Omega} \setminus \{(0, 0)\}, \\ \hat{p}(0, 0) = \text{mean}(h). \end{cases}$$

**Algorithm to compute the periodic component:**

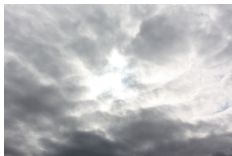
- ➊ Compute  $\Delta_i h$  the discrete Laplacian of  $h$ .
- ➋ Compute  $m = \text{mean}(h)$ .
- ➌ Compute  $\widehat{\Delta_i h}$  the DFT of  $\Delta_i h$  using the forward FFT.
- ➍ Compute the DFT  $\hat{p}$  of  $p$  defined by

$$\begin{cases} \hat{p}(s, t) = \frac{\widehat{\Delta_i h}(s, t)}{-4 + 2 \cos\left(\frac{2s\pi}{M}\right) + 2 \cos\left(\frac{2t\pi}{N}\right)} & \text{for } (s, t) \in \hat{\Omega} \setminus \{(0, 0)\} \\ \hat{p}(0, 0) = m \end{cases}$$

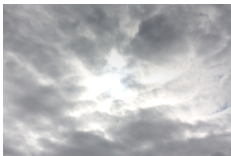
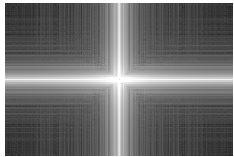
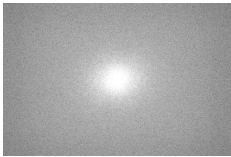
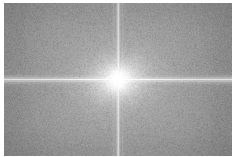
- ➎ Compute  $p$  using the backward FFT (if necessary).

# Periodic component: effects on the Fourier modulus

- $p$  is “visually close” to  $h$  (same Laplacian).

Image  $h$ 

Images

Periodic component  
 $p = \text{per}(h)$ Smooth component  
 $s = h - p (+m)$ Fourier  
modulus

- The application  $\text{per} : h \mapsto p$  filters out the “cross structure” of the spectrum.